

JP 2717480

PATENT ABSTRACTS OF JAPAN

(11)Publication number : 06-099800
(43)Date of publication of application : 12.04.1994

(51)Int.Cl. B60T 8/58
B62D 6/00
// B62D103:00
B62D105:00
B62D113:00
B62D137:00

(21)Application number : 04-220579 (71)Applicant : MERCEDES BENZ AG
(22)Date of filing : 09.07.1992 (72)Inventor : ZOMOTOR ADAM
KLINKNER WALTER
SCHINDLER ERICH
MOHN FRANK-WERNER
WOHLAND THOMAS

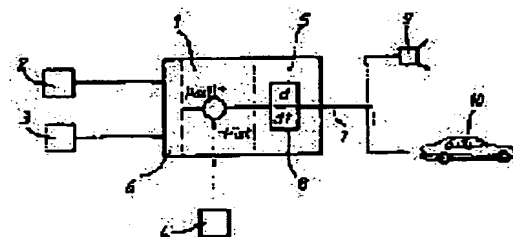
(30)Priority
Priority number : 91 4123235 Priority date : 13.07.1991 Priority country : DE

(54) METHOD FOR PREVENTING INSTABILITIES IN VEHICLE DRIVING

(57)Abstract:

PURPOSE: To very quickly check instabilities in vehicle driving and to very quickly prevent occurrence of instabilities in vehicle driving by a rapid detection of driving conditions with regard to yaw movements of a vehicle.

CONSTITUTION: An actual value of the yaw angle rate μ_{ist} is formed from a sensor signal of a vehicle 10 and is subtracted from a desired value of the yaw angle rate μ_{soll} . In this way, a function 8 of a time derivative of the difference is formed, an output signal 7 is generated by a computer unit 1 with respect to the function 8 of a time derivative, and information on whether the vehicle has understeering or oversteering driving is emitted. Then in the case of oversteering driving, the brake pressure is increased for the vehicle front wheel on the outside of the turn. In the case of understeering driving, the brake pressure is increased for the vehicle rear wheel on the inside of the turn.



LEGAL STATUS

[Date of request for examination] 09.07.1992
[Date of sending the examiner's decision of rejection]
[Kind of final disposal of application other than the examiner's decision of rejection or application converted registration]
[Date of final disposal for application]
[Patent number] 2717480
[Date of registration] 14.11.1997
[Number of appeal against examiner's decision of rejection]
[Date of requesting appeal against examiner's decision of rejection]

BEST AVAILABLE COPY

(19)日本国特許庁 (J P)

(12) 公開特許公報 (A)

(11)特許出願公開番号

特開平6-99800

(43)公開日 平成6年(1994)4月12日

(51)Int.Cl. ⁵	識別記号	庁内整理番号	F I	技術表示箇所
B 6 0 T 8/58	A	7504-3H		
B 6 2 D 6/00		9034-3D		
// B 6 2 D 103:00				
105:00				
113:00				

審査請求 有 請求項の数 8 (全 8 頁) 最終頁に続く

(21)出願番号	特願平4-220579	(71)出願人	591010642 メルセデス・ベンツ・アクチエンゲゼルシャフト MERCEDES-BENZ AKTIE NGESELLSCHAFT ドイツ連邦共和国シュトゥットガルト・ウ ンテルテュルクハイム・メルセデスシュ トラッセ136
(22)出願日	平成4年(1992)7月9日	(72)発明者	アーダム・ツオモルト ドイツ連邦共和国ヴァイブリンゲン・ハイ ンリヒ・キューデルリーシュトラッセ9
(31)優先権主張番号	P 4 1 2 3 2 3 5 . 6	(74)代理人	弁理士 中平 治
(32)優先日	1991年7月13日		
(33)優先権主張国	ドイツ (DE)		

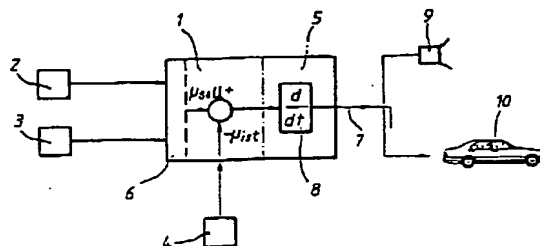
最終頁に続く

(54)【発明の名称】 車両の走行動作の不安定性を防止する方法

(57)【要約】 (修正有)

【目的】 車両の走行動作の不安定性をできるだけ早く防止する。

【構成】 車両速度及びかし取り角の測定される量から計算装置において車両の片揺れ角速度の目標値 μ_{set} を形成し、計算装置へ更に少なくとも1つのセンサ信号を供給し、このセンサ信号から車両の片揺れ角速度の実値 μ_{ist} を形成し、片揺れ角速度の目標値 μ_{set} から片揺れ角速度の実値 μ_{ist} を減算することにより、その差の時間的導関数8を形成し、計算装置1においてこの時間的導関数8に関係して出力信号7を発生し、車両がアンダステアリング走行動作を示すか又はオーバステアリング走行動作を示すかについての情報を出力し、オーバステアリング走行動作の際曲線の外側にある車両の前輪において制動滑りを増大し、アンダステアリング走行動作の際曲線の内側にある車両の後輪において制動滑りを増大する。



【特許請求の範囲】

【請求項1】 車両速度及びかじ取り角の測定される量から計算装置において車両の片揺れ角速度の目標値 $\mu_{。。。$ を形成し、計算装置へ更に少なくとも1つのセンサ信号を供給し、このセンサ信号から車両の片揺れ角速度の実値 $\mu_{。。。$ を形成し、片揺れ角速度の目標値 $\mu_{。。。$ から片揺れ角速度の実値 $\mu_{。。。$ を減算することにより、計算装置において片揺れ角速度の目標値 $\mu_{。。。$ と片揺れ角速度の実値 $\mu_{。。。$ との差を形成し、計算装置においてこの差から、車両の片揺れ動作
10 に関して検出された走行状態を表わす少なくとも1つの出力信号を発生しこの出力信号に關係して車両の個々の車輪の制動滑りの変化を行う方法において、計算装置

(1)において片揺れ角速度の目標値 $\mu_{。。。$ と片揺れ角速度の実値 $\mu_{。。。$ との差の時間的導関数(8)を形成し、計算装置(1)においてこの時間的導関数(8)に關係して出力信号(7)を発生し、車両(10)がアンダステアリング走行動作を示すか又はオーバステアリング走行動作を示すかについての情報を出力信号(7)が含み、オーバステアリング走行動作の際曲線
20 の外側にある車両(10)の前輪において制動滑りを増大し(1102)、アンダステアリング走行動作の際曲線の内側にある車両(10)の後輪において制動滑りを増大する(1103)ことを特徴とする、車両の走行動作の不安定性を防止する方法。

【請求項2】 オーバステアリング走行動作の際付加的に曲線の内側にある車両(10)の前輪において制動滑りを増大し、アンダステアリング走行動作の際付加的に曲線の外側にある車両(10)の後輪において制動滑りを増大することを特徴とする、請求項1に記載の方法。

【請求項3】 車両速度及びかじ取り角の測定される量から計算装置において車両の片揺れ角速度の目標値 $\mu_{。。。$ を形成し、計算装置へ更に少なくとも1つのセンサ信号を供給し、このセンサ信号から車両の片揺れ角速度の実値 $\mu_{。。。$ を形成し、片揺れ角速度の目標値 $\mu_{。。。$ から片揺れ角速度の実値 $\mu_{。。。$ を減算することにより、計算装置において片揺れ角速度の目標値 $\mu_{。。。$ と片揺れ角速度の実値 $\mu_{。。。$ との差を形成し、計算装置においてこの差から、車両の片揺れ動作
30 に関して検出された走行状態を表わす少なくとも1つの出力信号を発生し、この出力信号に關係して車両の個々の車輪の制動滑りの変化を行う方法において、計算装置

(1)において片揺れ角速度の目標値 $\mu_{。。。$ と片揺れ角速度の実値 $\mu_{。。。$ との差の時間的導関数(8)を形成し、計算装置(1)においてこの時間的導関数(8)に關係して出力信号(7)を発生し、車両(10)がアンダステアリング走行動作を示すか又はオーバステアリング走行動作を示すかについての情報を出力信号(7)が含み、制動過程においてオーバステアリング
40 走行動作の際曲線の内側にある車両(10)の後輪にお

いて制動滑りを減少し(1102)、アンダステアリング走行動作の際曲線の外側にある車両(10)の前輪において制動滑りを減少する(1103)ことを特徴とする、車両の走行動作の不安定性を防止する方法。

【請求項4】 制動過程においてオーバステアリング走行動作の際、車両(10)の前輪が滑り限界値に達すると、曲線の内側にある車両(10)の後輪において制動滑りを減少し、制動過程においてアンダステアリング走行動作の際、車両(10)の後輪が滑り限界値に達すると、曲線の外側にある車両(10)の前輪において制動滑りを減少することを特徴とする、請求項2に記載の方法。

【請求項5】 制動過程においてオーバステアリング走行動作の際、曲線の外側にある車両(10)の後輪において付加的に制動滑りを減少し、制動過程においてアンダステアリング走行動作の際、曲線の内側にある車両(10)の前輪において付加的に制動滑りを減少することを特徴とする、請求項3又は4に記載の方法。

【請求項6】 片揺れ角速度の目標値 $\mu_{。。。$ から片揺れ角速度の実値 $\mu_{。。。$ を減算することにより片揺れ角速度の目標値 $\mu_{。。。$ と片揺れ角速度の実値 $\mu_{。。。$ との差を形成し、この差を片揺れ角速度 $\mu_{。。。$ の符号に乗算する(301)ことによつて、計算装置
(1)において量MULTを求め、この量MULTが零より大きい時、車両(10)のアンダステアリング走行動作を表わす出力信号(7)を発生し、量MULTが零より小さい時、車両(10)のオーバステアリング走行動作を表わす出力信号(7)を発生し、片揺れ角速度の目標値 $\mu_{。。。$ と片揺れ角速度の実値 $\mu_{。。。$ との差の時間的導関数(8)を片揺れ角速度 $\mu_{。。。$ の符号及び量MULTの符号に乗算する(401)ことによつて、計算装置(1)において量DIFFを求め、量DIFFが零より大きい時、不安定性の増大を表わす出力信号(7)を発生し、量DIFFが零より小さい時、不安定性の減少を表わす出力信号(7)を発生する(402)ことを特徴とする、請求項1ないし5の1つに記載の方法。

【請求項7】 量MULTに關係する滑り差が現われるような値だけ、制動滑りの増大又は減少を行うことを特徴とする、請求項6に記載の方法。

【請求項8】 車両(10)の個々の車輪の制動滑りの増大又は減少の開始用判定基準ESKにおいて、この判定基準ESKが限界値を超過するか否かを量MULT及び量DIFFに關係して監視することによつて、判定基準ESKを形成することを特徴とする、請求項1ないし7の1つに記載の方法。

【発明の詳細な説明】

【0001】

【産業上の利用分野】本発明は、車両速度及びかじ取り角の測定される量から計算装置において車両の片揺れ角
50

速度の目標値 $\mu_{1,1}$ を形成し、計算装置へ更に少なくとも1つのセンサ信号を供給し、このセンサ信号から車両の片揺れ角速度の実際値 $\mu_{1,2}$ を形成し、片揺れ角速度の目標値 $\mu_{1,1}$ から片揺れ角速度の実際値 $\mu_{1,2}$ を減算することにより、計算装置において片揺れ角速度の目標値 $\mu_{1,1}$ と片揺れ角速度の実際値 $\mu_{1,2}$ との差を形成し、計算装置においてこの差から、車両の片揺れ動作に関して検出された走行状態を表わす少なくとも1つの出力信号を発生し、この出力信号に関係して車両の個々の車輪の制動滑りの変化を行う、車両の走行動作の不安定性を防止する方法に関する。

【0002】

【従来の技術】ドイツ連邦共和国特許出願公開第3625392号明細書からこのような方法が公知であり、車両の片揺れ動作に関する走行動作の検出のため、例えば光ファイバジャイロスコープにより車両の片揺れ角速度 $\mu_{1,2}$ が測定される。車両の半径方向加速度を測定する少なくとも1つの加速度センサの使用により片揺れ角速度 $\mu_{1,2}$ を誘導することによつて、片揺れ角速度の実際値 $\mu_{1,2}$ を求める別の可能性が与えられる。更に車両の測定される縦方向速度及び測定されるかじ取り角から、片揺れ角速度の目標値 $\mu_{1,1}$ が車両の目標動作に対して相違する時、危険な走行状態が推論される。車両の目標動作からの実際動作のこの検出される相違は、かじ取り装置への自動介入を行うか又はこの相違が最小となるように車両の個々の車輪を制動又は加速することによつて、車両の目標動作からの車両の実際動作の相違を最小にするために、使用される。

【0003】別の刊行物(Zomotor, Adam; Fahrwerktechnik: Fahrverhalten; Herausgeber: Jornsens Reimpell; Wurzburg: Vogel, 1987年ISBN3-8023-0774-7特に99-127ページ)から、車両のいわゆる線形単トラックモデルが公知であり、例えば車両縦方向における車両速度の測定値とかじ取り角又はそれに対応する車輪のかじ取り角から、特定の条件で現れる車両の片揺れ角速度 $\mu_{1,2}$ を求めて、このモデルに基いて片揺れ角速度の目標値 $\mu_{1,1}$ として使用することができる。

【0004】

【発明が解決しようとする課題】本発明の課題は、走行動作の不安定性をできるだけ早く防止するように、車両の走行動作の不安定性を防止する方法を改良することである。

【0005】

【課題を解決するための手段】この課題を解決するため本発明によれば、計算装置において片揺れ角速度の目標値 $\mu_{1,1}$ と片揺れ角速度の実際値 $\mu_{1,2}$ との差の時間的導関数を形成し、計算装置においてこの時間的導関数に関係して出力信号を発生し、車両がアンダステア

リング走行動作を示すか又はオーバステアリング走行動作を示すかについての情報を出力信号が含み、オーバステアリング走行動作の際曲線の外側にある車両の前輪において制動滑りを増大し、アンダステアリング走行動作の際曲線の内側にある車両の後輪において制動滑りを増大する。

【0006】

【発明の効果】本発明の利点は、車両の片揺れ動作に関して走行状態の早い検出により、非常に早く不安定な走行状態を確認できることである。従つて個々の車輪の滑りを変化する制動圧力の変化又はその増大により、不安定な走行状態の発生を非常に早く防止することが可能である。

【0007】車両縦速度及びかじ取りハンドル角又は車輪のかじ取り角は、適当なセンサにより検出される。これらのセンサ信号を計算装置へ供給し、これらの信号から例えば前記の線形単トラックモデルにより、運転者の望む車両の片揺れ角速度を片揺れ角速度の目標値 $\mu_{1,1}$ として求めることができる。それから片揺れ角速度の実際値 $\mu_{1,2}$ を求められた目標値 $\mu_{1,1}$ と比較することにより、計算装置において片揺れ動作に関する走行動作の検出が行われる。その際片揺れ角速度の実際値 $\mu_{1,2}$ と片揺れ角速度の目標値 $\mu_{1,1}$ との差の値が考慮されるだけでなく、この差の符号及びこの差の時間的導関数も考慮される。特に時間的導関数を考慮することによつて、危険な定行状態の発生する可能性の特に早い確認が可能となるので、個々の車輪の滑りを変化する制動圧力の変化又は増大によつて、危険な走行状態の発生を予め防止することができる。

【0008】オーバステアリング走行動作(車両が曲線の内側へ曲り込む)では、曲線の外側にある前輪が制動される。横案内力(コーナリングフォース)の減少及び周方向における制動力の増大は、車両の逆回転片揺れモーメントを生ずる。車両のオーバステアリング走行動作が減少される。場合によつては曲線の内側にある車輪も付加的に制動することによつて、安定化の効果が強められる。なぜならば、周方向における制動力は曲り込み過程を助長するが、曲線の内側にある車輪の横案内力の減少が打消されるだけでなく、作用する力のてこ腕長のため過度に打消され、従つて車両は付加的に安定化されるからである。

【0009】アンダステアリング走行動作(車両が片揺れし難く、即ち車両が運転者により規定されるかじ旋回角に追従しない)では、曲線の内側にある後輪が制動される。この車輪の横案内力の減少は、曲り込む片揺れモーメントを生ずる。場合によつては曲線の外側にある後輪も付加的に制動することができる。これは、オーバステアリング走行動作の際曲線の内側にある前輪の制動の上述した判定基準と同じように、横案内力損失と重心からのてこ腕長との積が周方向における制動力と重心から

のて腕長との積より大きい時に、有利である。

【0010】片揺れ角速度の実際値 $\mu_{i,j}$ が目標値 $\mu_{i,j}$ に近づくと、制動力がそれに応じて減少される。

【0011】線形単一トラックモデルにより片揺れ角速度の目標値 $\mu_{i,j}$ を求める代りに、1度測定された特性曲線図から片揺れ角速度の目標値 $\mu_{i,j}$ を読むことも可能である。

【0012】本発明の実施例が図面に概略的に示されており、以下これについて説明する。

【0013】図1からわかるように、車両速度を表わすセンサ2の信号が計算装置1へ供給される。このセンサ2は、例えば公知のロック防止装置（ABS）において使用されるような回転数センサでよい。センサ2が異なる車輪の複数の回転数センサに相当していることも同様に可能である。センサ3により、かじ取り角を表わす信号が供給される。従つてこのセンサ3はかじ取りハンドル角センサでよい。同様にこのセンサ3は、車両10の1つの車輪のかじ取り角又は車両10の複数の車輪のかじ取り角の平均値を検出するセンサでもよい。更に計算装置1へ少なくとも1つの別のセンサ4の信号が供給され、このセンサにより計算装置1において片揺れ角速度の実際値 $\mu_{i,j}$ を形成することができる。このセンサ4は例えば片揺れ角速度 $\mu_{i,j}$ を直接測定することができる。

【0014】計算装置1においてセンサ2及び3の信号から、計算装置1の部分1において例えば線形単一トラックモデルにより、片揺れ角速度の目標値 $\mu_{i,j}$ が求められる。この片揺れ角速度の目標値 $\mu_{i,j}$ は形成される片揺れ角速度の実際値 $\mu_{i,j}$ と比較されて、目標値と実際値との差を形成する。それから計算装置1の部分5において、片揺れ角速度の目標値 $\mu_{i,j}$ と片揺れ角速度の実際値 $\mu_{i,j}$ との差の時間的導関数8を使用して、車両10の片揺れ動作に関して走行状態が検出され、検出された走行状態を表わす出力信号7が発生される。

【0015】図2からわかるように、計算装置1において片揺れ角速度の目標値 $\mu_{i,j}$ と片揺れ角速度の実際値 $\mu_{i,j}$ との差を評価して、オーバステアリング走行動作又はオーバステアリング走行動作を推論することによって、走行状態の検出も行ふことができる。このため片揺れ角速度の目標値 $\mu_{i,j}$ から片揺れ角速度の実際値 $\mu_{i,j}$ を減算することによつて、差が形成される。この差が計算装置1において片揺れ角速度の実際値 $\mu_{i,j}$ の符号に乗算され（301）、その結果量MULTが得られる。この量MULTによりアンダステアリング走行動作又はオーバステアリング2を推論することができる（302）。この量MULTが正であると、片揺れ角速度の目標値 $\mu_{i,j}$ の値は片揺れ角速度の実際値 $\mu_{i,j}$ の値より大きい、目標値 $\mu_{i,j}$ の符

号と実際値 $\mu_{i,j}$ の符号は同じである。この場合車両10は前車軸を介して滑る。この片揺れし難い動作はアンダステアリングと称される。量MULTが負であると、片揺れ角速度の実際値 $\mu_{i,j}$ が目標値 $\mu_{i,j}$ より大きい、又は片揺れ角速度の実際値 $\mu_{i,j}$ と目標値 $\mu_{i,j}$ が異なる符号を持つている。運転者が期待するより大きい片揺れ角速度 $\mu_{i,j}$ を車両10が持っているこの走行動作はオーバステアリングと称される。出力信号7の発生の際時間的導関数8のほかは量MULTも考慮することによつて、又は例えば量MULTのみに関係して付加的な出力信号7を発生することによつて、出力信号7を形成することができる。

【0016】更に図3の実施例によれば、差の時間的導関数8を片揺れ角速度の実際値 $\mu_{i,j}$ の符号及び量MULTの符号に乗算することによつて、量DIFFが求められる。アンダステアリングの場合もオーバステアリングの場合も、不安定性の増大がおこる時、即ちオーバステアリング又はアンダステアリングの傾向が強まる時、この量DIFFは正の値を持つ。アンダステアリング又はオーバステアリングの傾向が弱まる時、この量DIFFは負の値をとる。従つて量DIFFの照会により不安定性の増大又は不安定性の減少を確認することが可能である。

【0017】図4は、車輪の縦方向に作用する制動力 F_u を制動滑り σ に関して示している。同様に横案内力 F_s が制動滑り σ に関して示されている。点 σ_{max} は、最大の力が車輪の縦方向に伝達される点を示している。更にこの点において横案内力 F_s が比較的強く減少することがわかる。一般に図4からわかるように、制動圧力の増大又は制動圧力を大きくする方向の変化により、制動滑り σ の増大が行われ、しかも点 σ_{max} まで周方向における制動力 F_u がまず増大し、それから制動力が少し減少するか、又は（ここには図示していないが低い摩擦係数 β の場合）不変である。図4によれば、横案内力 F_s は制動滑り σ の増大と共に精確に単調に減少する。従つていずれにせよ制動圧力の増大は横案内力 F_s の減少を生じ、滑り σ_{max} に達するまで周方向における制動力 F_u の増大を生ずる。更に図からわかるように、本発明による方法では、横案内力 F_s 及び車輪の縦方向に作用する制動力 F_u に影響を及ぼすことにより、滑りの目標値 $\sigma_{i,j}$ の変化も行われる。

【0018】図5は、車両の走行動作に関して検出された走行状態を表わす計算装置1の出力信号7（図1参照）を供給される計算装置501を示している。この出力信号7に関して、計算装置501において個々の車輪の制動滑りの目標値 $\sigma_{i,j}$ が求められて、計算装置501から出力信号502として発生される。この制動滑り目標値 $\sigma_{i,j}$ を得るために、それに応じて変化される制動圧力 p が印加される。その際制動滑り目標値 $\sigma_{i,j}$ が設定される。車両10の不安定性を

10

20

30

40

50

防止する際できるだけ最適な応答時間を得るため、制動滑り目標値 σ_{s1} を変化する際、車両の片揺れ動作の時間的制動滑りを考慮するのが有利である。この時間的変化から、不安定性の増大があるか又は不安定性の減少があるかが推論される。不安定性増大の際制動滑り目標値 σ_{s1} のそれに応じた増大又はそれに応じた強い変化が行われる。計算装置501において、図2及び3により求められた量MULT及び量DIFFが評価される。これから計算装置501において制動滑り目標値 σ_{s1} の変化の判定基準を形成することができる。例えば量MULTの絶対値を比例定数KPEに乗算し、量DIFFを比例定数KDEに乗算することによって、付勢判定基準ESKを形成することができる。この付勢判定基準ESKは2つの積の和として得られ、計算装置501から出力信号503として出力される。付勢判定基準ESKが特定の限界値 ESK_{schw1} を超過すると、制動滑り目標値 σ_{s1} を調整する制動圧力 P_s の増大又は変化が行われ、付勢判定基準ESKが特定の限界値 ASK_{schw1} を下回ると、制動圧力 P_s の増大又は変化が終了する。図8及び9からわかるように、比例定数KPE及びKDEが車両速度 v 及び摩擦係数 β に関係していると有利である。

【0019】図6は、付勢判定基準ESKを限界値 ESK_{schw1} 及び ASK_{schw1} に対して示している。ここで判定基準ESKは時間 t に関して記入されている。図6の以下の説明では、車両が運転者によつては制動されず、即ち個々の車輪のブレーキが動作せしめられる場合が述べられる。その時には、制動過程において特定の滑り限界値 σ_{s1} の制御のため、個々の車輪における制動力の減少の際次の関係が生ずる。時点 t_1 に量ESKが値 ESK_{schw1} を超過すると、まず1つの車輪が制動される。量ESKが時点 t_2 に値 ESK_{schw2} を超過すると、同じ車軸の他の車輪も付加的に制動される。同じようにして、量ESKが時点 t_3 に値 ASK_{schw2} を下回ると、1つの車輪のみ即ち最初に制動された車輪の制動が行われる。量ESKが時点 t_4 に値 ASK_{schw1} を下回ると、制動はもはや行われない。更に値 ASK_{schw1} 及び ASK_{schw2} は、ブレーキへの介入の終了後直ちには再びブレーキへの介入が行われないような値だけ、値 ESK_{schw1} 及び ESK_{schw2} より小さいのが有利である。その際 ESK_{schw1} の値は特に約5であり、AS

K_{schw1} の値は約4である。 ESK_{schw1} 及び ASK_{schw2} の可能な値は約15及び12である。付勢限界値及び消勢限界値は、アンダステアリング(量MULT>0)であるかオーバステアリング(量MULT<0)であるかに応じて、付加的に相違していてもよい。

【0020】制動滑り σ_{s1} は検出される走行状態に関係しても変化することができる。図7によれば、この変化は、次式に従つて制動滑りの目標値 σ_{s1} が設定されるように行うことができる。

$$\sigma_{s1} = a * MULT + b$$

オーバステアリング(量MULT<0)の場合 a は値 $0.13s/1^\circ$ をとり、 b は値 0.56 をとり、 σ_{s1} は -0.7 の値に限定され、アンダステアリングの場合 a は 0 をとり、 b は値 -0.07 をとることができる。一層大きい制動滑り σ の値を得るため制動圧力を増大する方向の増大又は変化は、オーバステアリングの際まず曲線の外側にある前輪で行われ、アンダステアリングの際まず曲線の内側にある後輪で行われる。これは、オーバステアリングの際曲線の内側にある前輪で一層大きい制動滑り σ を得るため制動圧力の増大により、またアンダステアリングの際曲線の外側にある後輪で一層大きい制動滑り σ を得るため制動圧力の増大により援助することができる。この援助を直ちに行うか、又は図6に示す判定基準になるべく従つて行うことができる。車両が既に制動されている時、制動過程に基いて設定された制動滑りに、図7による滑り限界値 σ_{s1} が重畳される。

【0021】図8からわかるように、有利な実施態様では、量KPE及びKDEが車両速度 v と共に変化することができる。その際これらの量は、車両速度 $v=0\text{ km/h}$ において $KPE=0.5s/1^\circ$ 、 $KDE=0.05s^2/1^\circ$ の値をとり、車両速度 100 km/h において $KPE=1.0s/1^\circ$ 、 $KDE=0.1s^2/1^\circ$ の値をとる。これらの値は仮想摩擦係数 $\beta=1$ に適用される。それにより、車両速度の増大により不安定な走行状態が助長されるという事実が考慮される。

【0022】図9からわかるように、本発明の有利な実施態様では、量KPE及びKDEを摩擦係数 β と共に変化することができる。この変化は、摩擦係数 β の増大と共に量KPE及びKDEが減少するようにおこり、小さい摩擦係数 β の範囲では、量KPE及びKDEが大きい摩擦係数の範囲におけるより著しく減少することができる。量KPE及びKDEの大きさは次表から得られる。

9		10	
v (k m / h)	β	K P E (s / 1 °)	K D E (s ² / 1 °)
0	1	0 . 5	0 . 0 5
1 0 0	1	1 . 0	0 . 1
0	0 . 3	1 . 0	0 . 1
1 0 0	0 . 3	2 . 0	0 . 2

それにより摩擦係数の減少により不安定な走行状態が助長されるという事実が考慮される。

【0023】図10は、3ポート3位置弁を使用した制動系の液圧回路の実施例を示している。付属する制動倍力器1002を持つ制動ペダル1001は、親制動シリンダ1003及び制動液体に接続されている。以下前輪用液圧回路について説明する。後輪用液圧回路の構成も同様である。従つて後輪の制動回路と一致する構成部分は以下かつこに入れて示されている。運転者により制動ペダルが操作されると、圧力増大の結果制動液体は、導管1004(1005)と、導管1004(1005)を導管1008(1009)に接続するように接続される。弁1006(1007)とを通つて流れる。弁1010、1012(1011、1013)が導管1008(1009)を導管1014、1016(1015、1017)に接続するように内部接続されているものと仮定すれば、車輪制動シリンダの圧力が上昇する。制動ペダル1001の操作が終了されると、制動液体は逆の通路を親制動シリンダ1003へ戻る。この機能は通常の制動過程に相当している。

【0024】さて運転者が制動ペダルを操作することなしに、左前輪VL(HL)を制動しようとするれば、液圧回路の制御は次のように行われる。複数のポンプ1023、1024により制動液体が制動液体タンク1026から蓄圧槽1025へ送られる。弁1006(1007)は、導管1027(1028)を導管1008(1009)に接続するように内部接続されている。それにより制動ペダルは切離され、車輪制動シリンダは、弁の適当な内部接続により蓄圧槽1025に接続されることができる。弁1010(1011)が導管1008(1009)を導管1014(1015)に接続するように内部接続されていると、車輪制動シリンダの圧力上昇が行われる。車輪制動シリンダへの圧力供給が前述したように蓄圧槽1025から行われると、ロック防止装置(ABS)により制動過程が調整される場合と同じように、圧力低下が行われる。その際弁1010(1011)を“圧力保持”位置へ切換えて、導管1014(1015)が他の導管に接続されず、即ち車輪への圧力が一定であるようにする。第3の位置で弁1010(1011)は、導管1014(1015)を導管1018(1019)に接続するように、内部接続されている。戻しポンプ1022の運転により、制動液体は導管10

08(1009)へ戻される。弁1006(1007)の適当な位置で、制動液体は再び蓄圧槽1025へ戻される。導管1014(1015)の制動圧力は低下し、制動滑りが減少する。

【0025】図11からわかるように、段階1101で量MULTを評価して、量MULTが0より小さいか(オーバステアリング走行動作)又は量MULTが0より大きい(アンダステアリング走行動作)について検査が行われる。オーバステアリング走行動作では、段階1102に従つて曲線の外側にある前輪の制動滑りが増大されるか、又は曲線の内側にある後輪の制動滑りが減少される。アンダステアリング走行動作では、段階1103に従つて曲線の内側にある後輪の制動滑りが増大されるか、又は曲線の外側にある前輪の制動滑りが減少される。

【0026】図12により所望の片揺れ反応を更に助長するため、個々の車輪における制動圧力を増大し、個々の車輪における制動圧力を付加的に減少する。この状態は図12に類似している。制動圧力 $p_{b, \dots}$ の減少は、図12の例において制動圧力 $p_{b, \dots, r}$ の増大が行われる車輪に対角線上で対向している車輪で、行うことができる。制動滑りの減少が図7による関係とは逆におこるように、即ち制動滑りの目標値 $\sigma_{\dots, i}$ が量MULTに関係して直線的に減少するように、制動圧力の減少の程度を選ぶことができる。式のパラメータ a 及び b はこの場合 $a = 0.004 \text{ s/1°}$ 及び $b = -0.04$ である。従つてこれは、オーバステアリングの際曲線の内側にある後輪の制動滑りが減少され、アンダステアリングの際曲線の外側にある前輪の制動滑りが減少されることを意味する。この場合も援助のためオーバステアリングの際曲線の外側にある後輪の制動滑りを減少し、アンダステアリングの際曲線の内側にある前輪の制動滑りを減少することができる。

【図面の簡単な説明】

【図1】センサ及び計算装置の接続図である。

【図2】走行状態を検出する流れ図の第1の部分を示す図である。

【図3】走行状態を検出する流れ図の第2の部分を示す図である。

【図4】車輪の縦方向の制動 F_u 及び横案内力 F_s を制動滑り σ に関して示す線図である。

【図5】本発明による方法を実施する計算装置を示す図

である。

【図6】本発明による方法の開始の所定基準を示す線図である。

【図7】走行状態判定基準から制動滑り目標値 σ

の変化を示す図である。

【図8】パラメータKPE, KDE, a及びbの速度依存性を考慮するための線図である。

【図9】パラメータKPE, KDE, a及びbの摩擦係数依存性を考慮するための線図である。

【図10】本発明の方法を実施する装置の実施例の液圧*10

* 回路図である。

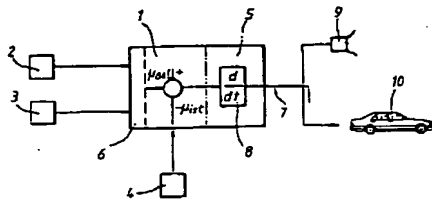
【図11】本発明による方法の流れ図である。

【図12】制動滑り増大の代りに制動滑り減少を示す車両平面図である。

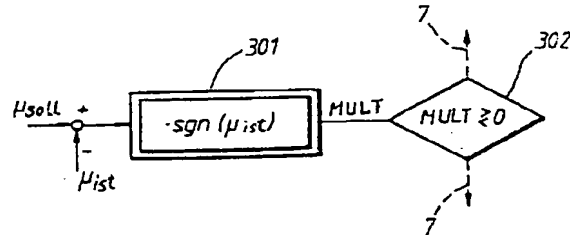
【符号の説明】

- | | |
|-----|--------|
| 1 | 計算装置 |
| 2~4 | センサ |
| 7 | 出力信号 |
| 8 | 時間的導関数 |
| 10 | 車両 |

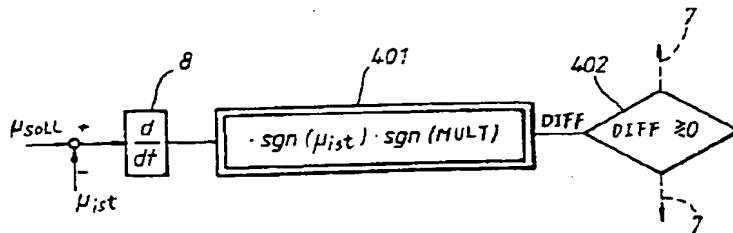
【図1】



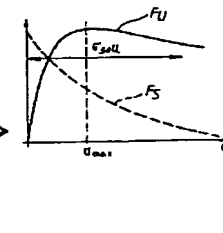
【図2】



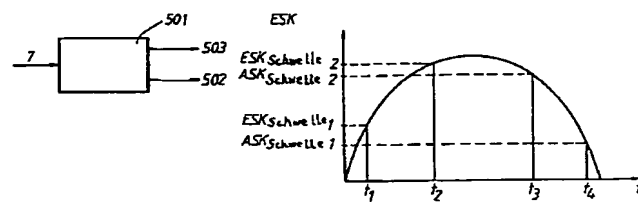
【図3】



【図4】

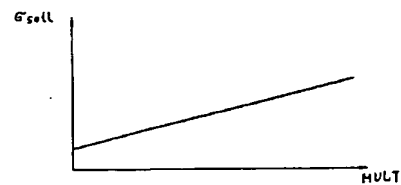


【図5】

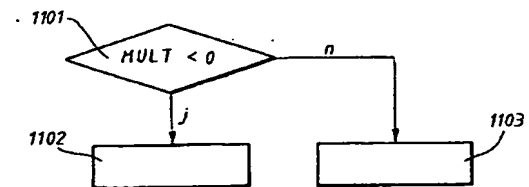


【図6】

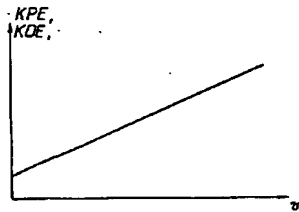
【図7】



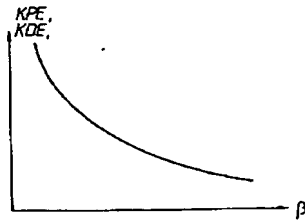
【図11】



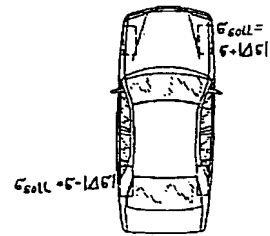
【図8】



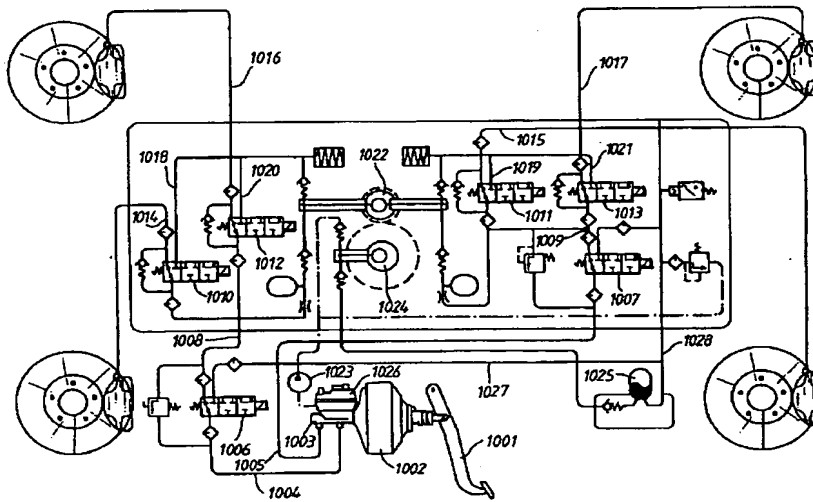
【図9】



【図12】



【図10】



フロントページの続き

(51)Int. Cl.³

B 6 2 D 137:00

識別記号

弁内整理番号

F I

技術表示箇所

(72)発明者 ヴアルテル・クリンケル
ドイツ連邦共和国シュトゥットガルトー
75・ベルネル・シュトラッセ20
(72)発明者 エーリヒ・シンドレル
ドイツ連邦共和国ウンテルヴァイスアツ
ハ・リービヒシュトラッセ34

(72)発明者 フランクーヴェルネル・モーネ
ドイツ連邦共和国エスリングエン・カタリー
ネンシュトラッセ55
(72)発明者 トーマス・ヴォーラント
ドイツ連邦共和国シュトゥットガルトー
50・ロンメルスハウゼン・シュトラッセ46

**This Page is Inserted by IFW Indexing and Scanning
Operations and is not part of the Official Record**

BEST AVAILABLE IMAGES

Defective images within this document are accurate representations of the original documents submitted by the applicant.

Defects in the images include but are not limited to the items checked:

- ☐ **BLACK BORDERS**
- ☐ **IMAGE CUT OFF AT TOP, BOTTOM OR SIDES**
- ☐ **FADED TEXT OR DRAWING**
- ☒ **BLURRED OR ILLEGIBLE TEXT OR DRAWING**
- ☐ **SKEWED/SLANTED IMAGES**
- ☐ **COLOR OR BLACK AND WHITE PHOTOGRAPHS**
- ☐ **GRAY SCALE DOCUMENTS**
- ☐ **LINES OR MARKS ON ORIGINAL DOCUMENT**
- ☐ **REFERENCE(S) OR EXHIBIT(S) SUBMITTED ARE POOR QUALITY**
- ☐ **OTHER:** _____

IMAGES ARE BEST AVAILABLE COPY.

As rescanning these documents will not correct the image problems checked, please do not report these problems to the IFW Image Problem Mailbox.